

Supporting Information

A Quantum Chemical Study on •Cl-initiated Atmospheric Degradation of Acrylonitrile

Jingyu Sun^{1*}, Youxiang Shao², Wenzhong Wu³, Yizhen Tang⁴, Yunju Zhang⁵,

Yiming Hu¹, Jiangyan Liu¹, Huiyang Yi¹, Fang Chen¹, Yinfang Cheng¹

¹ *Hubei Collaborative Innovation Center for Rare Metal Chemistry, Hubei Key Laboratory of
Pollutant Analysis & Reuse Technology, College of Chemistry and Chemical Engineering, Hubei
Normal University, Cihu Road 11, Huangshi, Hubei 435002, P. R. China*

² *School of Materials Science and Engineering, MOE Key Laboratory of Bioinorganic and
Synthetic Chemistry, Sun Yat-sen University, Guangzhou 510275, P. R. China*

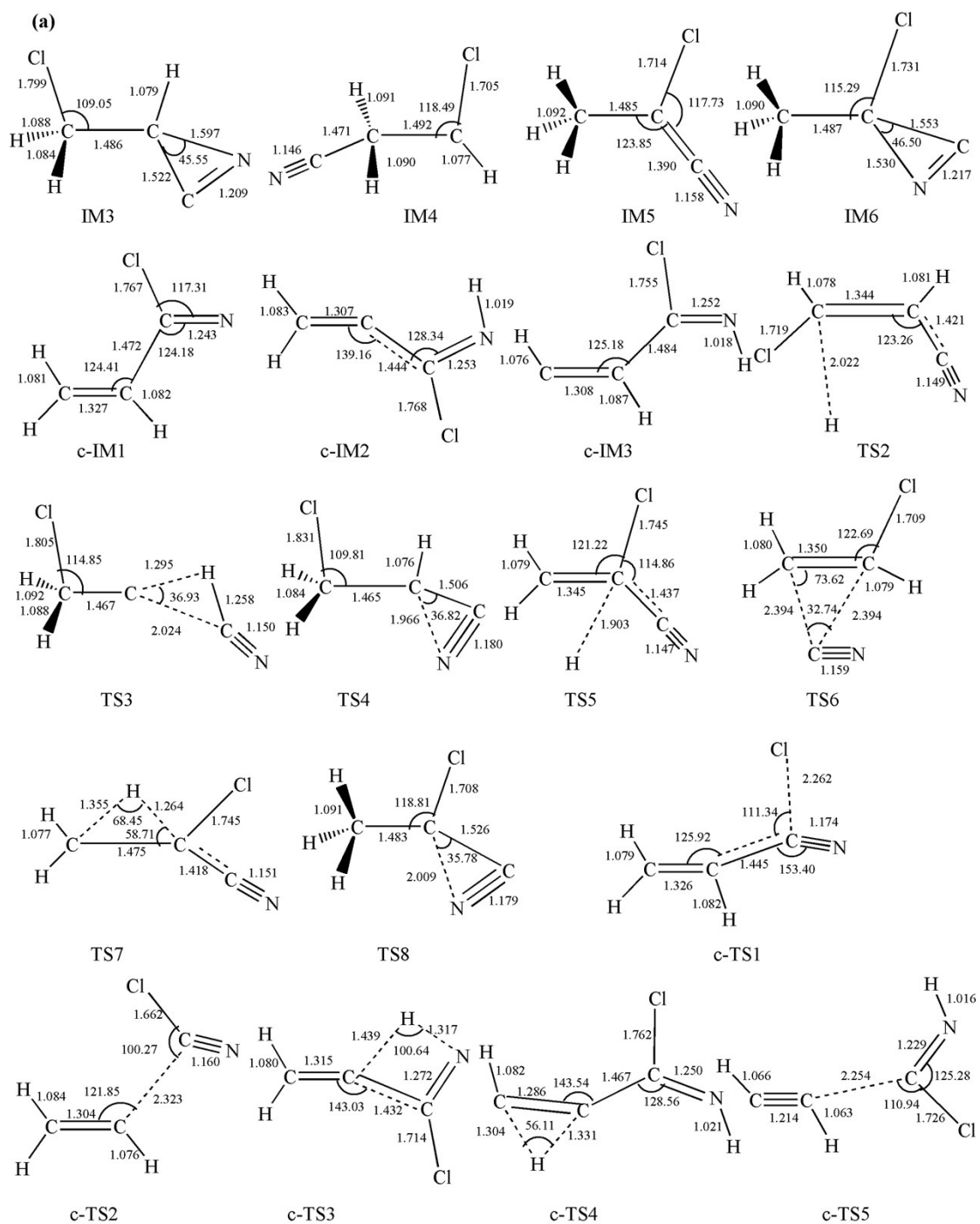
³ *College of Foreign Languages, Hubei Normal University, Cihu Road 11, Huangshi, Hubei
435002, P. R. China*

⁴ *School of Environmental and municipal Engineering, Qingdao Technological University, Fushun
Road 11. Qingdao, Shandong, 266033 P.R. China.*

⁵ *Key Laboratory of Photoinduced Functional Materials, Mianyang Normal University, Mianyang
621000, PR China*

* Corresponding author. Email address: sunjy231@gmail.com Tel.;; Fax: 0714-6515602

Fig. S1 Optimized geometries (length in Å and angle in degree) for other intermediates, transition states, and products as shown in (a) and (b). The experimental data are in *Italic*.



(b)

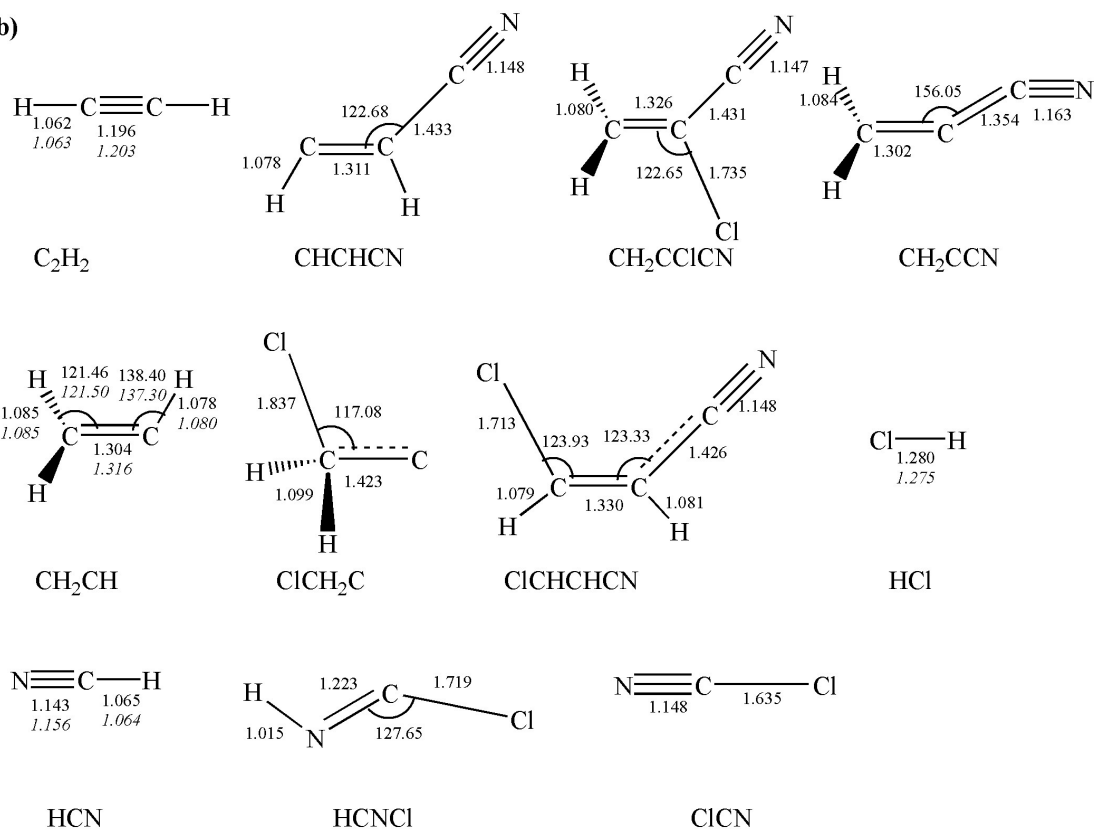


Fig.S2 Potential energy diagram of the unimportant reaction channels (a) and (b) at the UCCSD(T)/cc-pVTZ//M05-2X/6-311++G(d,p) level.

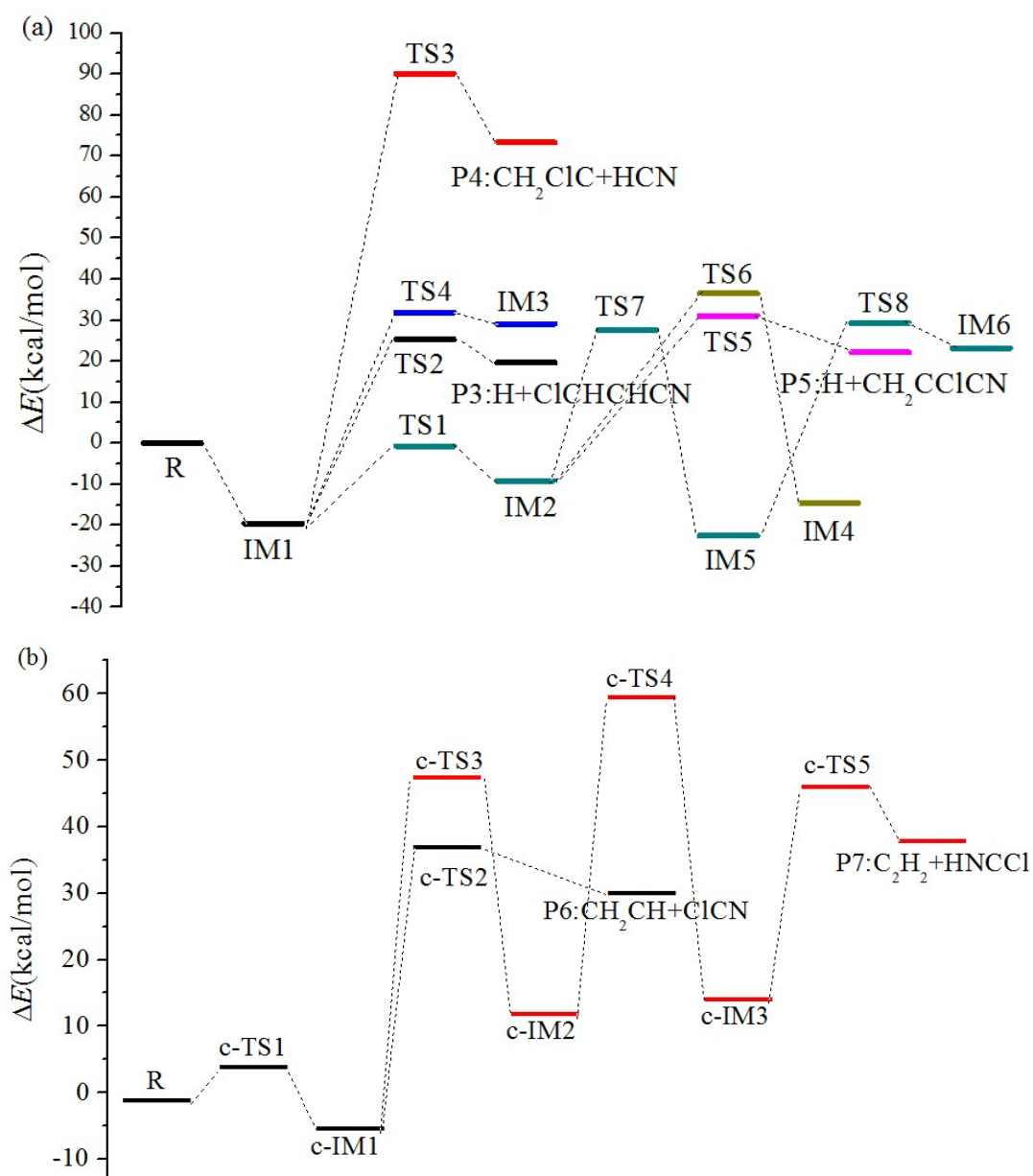


Fig. S3 Temperature dependence of the rate constants at other theoretical methods (a)

at 760 Torr N₂; (b) at 1 Torr He.

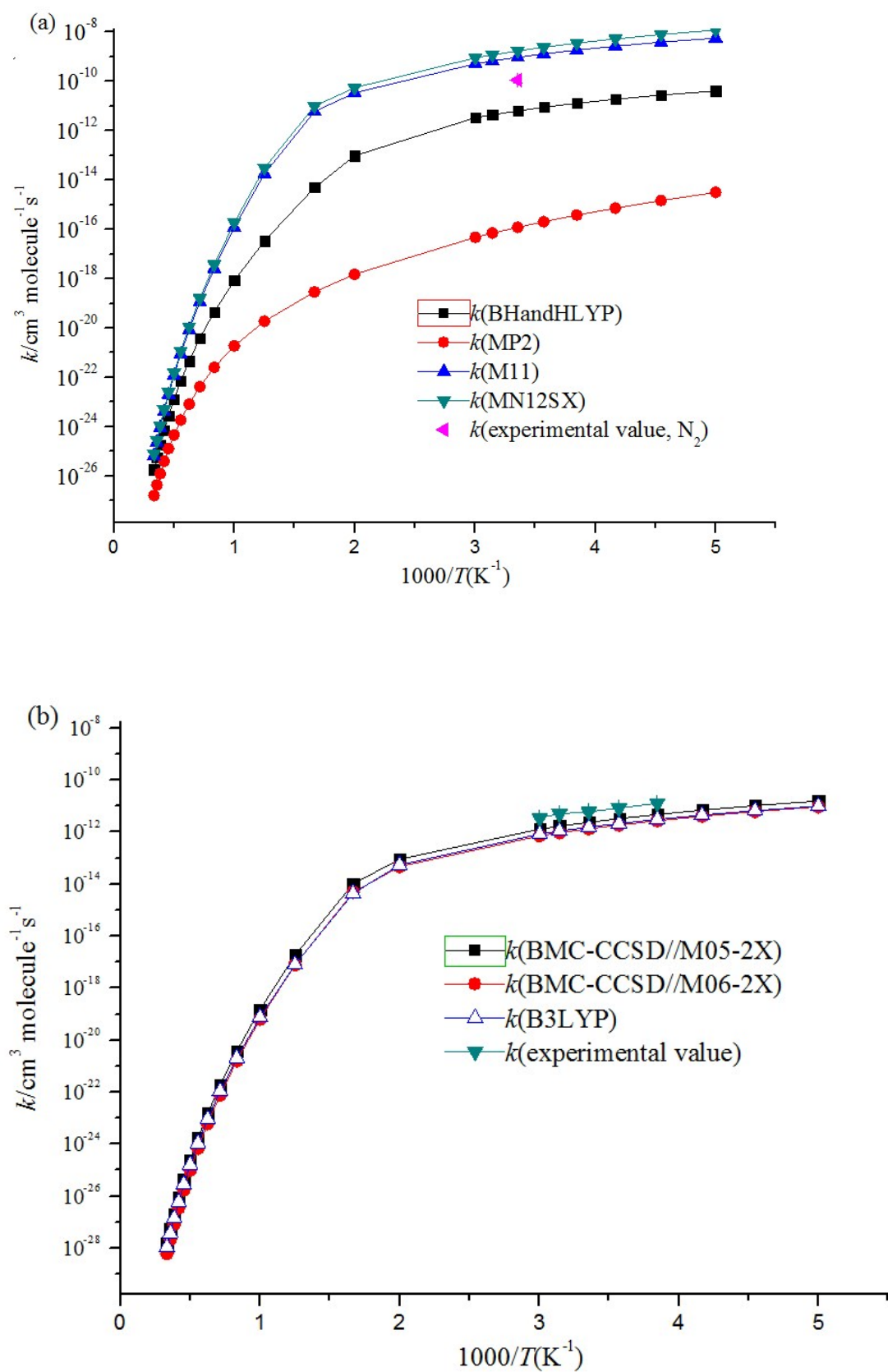


Table S1. Relative energies(ΔE) for the other species (energies in kcal mol⁻¹).

Species	ΔE^a	ΔE^b
R: CH ₂ =CHCN+Cl	0.00	0.00
P3:H+ClCHCHCN	18.02	19.63
P4:CH ₂ ClC+HCN	71.85	73.30
P5:H+CH ₂ CClCN	20.95	22.12
P6:CH ₂ CH+ClCN	33.19	31.19
P7:C ₂ H ₂ +HNCCl	38.14	39.09
IM3	23.65	29.10
IM4	-18.20	-14.62
IM5	-26.69	-22.49
IM6	17.49	23.19
TS2	25.08	25.31
TS3	90.16	90.06
TS4	28.16	31.91
TS5	31.09	31.07
TS6	33.34	36.50
TS7	23.72	27.56
TS8	26.34	29.27
c-IM1	-8.70	-4.28
c-IM2	8.28	12.97
c-IM3	10.57	15.15
c-TS1	1.40	5.03
c-TS2	36.67	38.05
c-TS3	44.14	48.55
c-TS4	56.92	60.70
c-TS5	43.82	47.22

^aM05-2X/6-311++G(d,p);^bUCCSD-ccPVTZ//M05-2X/6-311++G(d,p)

Table S2 The coordinates, rotational constants, and harmonic frequencies of reactants and IM1

Species	Coordinates(Atom, X, Y, Z)				Rotational constants(cm ⁻¹)	Frequencies
CH ₂ =CHCN	C	-0.005245	0.000000	-0.005592	1.669, 0.168, 0.152	237, 353, 586, 720, 892, 1014, 1027, 1124, 1333, 1463, 1717, 2413, 3197, 3230, 3294
	H	0.005412	0.000000	1.074545		
	H	0.942153	0.000000	-0.525485		
	C	-1.157515	0.000000	-0.667452		
	H	-2.111380	0.000000	-0.158610		
	C	-1.208053	0.000000	-2.099112		
	N	-1.264285	0.000000	-3.245738		
Cl	Cl	-2.192771	-0.373494	0.000000		
IM1	C	0.492511	0.720855	0.471412	0.392, 0.065, 0.059	53, 215, 290, 428, 561, 636, 720, 870, 1042, 1153, 1217, 1303, 1416, 1505, 2240, 3134, 3213, 3250
	H	0.226236	0.441788	1.483835		
	H	0.957050	1.701085	0.450880		
	C	-0.657625	0.642953	-0.452590		
	H	-0.581900	1.062469	-1.443967		
	C	-1.812983	-0.052112	-0.112001		
	N	-2.778996	-0.615915	0.187887		
	Cl	1.781101	-0.443004	-0.068243		

Table S3 The rate constants at various methods in the temperature of 200-3000 K and at 760 Torr N₂. (k is in cm³ molecule⁻¹s⁻¹)

$T(K)$	k^a	k^b	k^c	k^d	k^e	k^f	k^g	k^h	k^i	k^j	k^m	k^n
200	3.15 $\times 10^{-10}$	4.09 $\times 10^{-11}$	3.14 $\times 10^{-15}$	5.61 $\times 10^{-9}$	1.19 $\times 10^{-8}$	1.92 $\times 10^{-9}$	1.78 $\times 10^{-9}$	1.98 $\times 10^{-9}$	1.66 $\times 10^{-9}$	1.31 $\times 10^{-9}$	8.74 $\times 10^{-10}$	
220	2.55 $\times 10^{-10}$	2.76 $\times 10^{-11}$	1.47 $\times 10^{-15}$	3.85 $\times 10^{-9}$	7.82 $\times 10^{-9}$	1.43 $\times 10^{-9}$	1.29 $\times 10^{-9}$	1.49 $\times 10^{-9}$	1.27 $\times 10^{-9}$	9.62 $\times 10^{-10}$	6.09 $\times 10^{-10}$	
240	2.0 $\times 10^{-10}$	1.88 $\times 10^{-11}$	7.25 $\times 10^{-16}$	2.65 $\times 10^{-9}$	5.21 $\times 10^{-9}$	1.06 $\times 10^{-9}$	9.31 $\times 10^{-10}$	1.12 $\times 10^{-9}$	9.65 $\times 10^{-10}$	7.04 $\times 10^{-10}$	4.26 $\times 10^{-10}$	
260	1.60 $\times 10^{-10}$	1.28 $\times 10^{-11}$	3.75 $\times 10^{-16}$	1.84 $\times 10^{-9}$	3.51 $\times 10^{-9}$	7.90 $\times 10^{-10}$	6.75 $\times 10^{-10}$	8.36 $\times 10^{-10}$	7.30 $\times 10^{-10}$	5.15 $\times 10^{-10}$	2.99 $\times 10^{-10}$	
280	1.25 $\times 10^{-10}$	8.82 $\times 10^{-12}$	2.03 $\times 10^{-16}$	1.29 $\times 10^{-9}$	2.39 $\times 10^{-9}$	5.85 $\times 10^{-10}$	4.89 $\times 10^{-10}$	6.24 $\times 10^{-10}$	5.51 $\times 10^{-10}$	3.76 $\times 10^{-10}$	2.11 $\times 10^{-10}$	
298	9.9 $\times 10^{-10}$	6.33 $\times 10^{-12}$	1.21 $\times 10^{-16}$	9.36 $\times 10^{-10}$	1.70 $\times 10^{-9}$	4.46 $\times 10^{-10}$	3.66 $\times 10^{-10}$	4.78 $\times 10^{-10}$	4.27 $\times 10^{-10}$	2.83 $\times 10^{-10}$	1.54 $\times 10^{-10}$	$(1.11 \pm 0.23) \times 10^{-10}$
318	7.62 $\times 10^{-10}$	4.39 $\times 10^{-12}$	7.04 $\times 10^{-17}$	6.61 $\times 10^{-10}$	1.18 $\times 10^{-9}$	3.30 $\times 10^{-10}$	2.66 $\times 10^{-10}$	3.56 $\times 10^{-10}$	3.21 $\times 10^{-10}$	2.07 $\times 10^{-10}$	1.10 $\times 10^{-10}$	
333	6.24 $\times 10^{-10}$	3.35 $\times 10^{-12}$	4.79 $\times 10^{-17}$	5.11 $\times 10^{-10}$	8.98 $\times 10^{-10}$	2.63 $\times 10^{-10}$	2.10 $\times 10^{-10}$	2.85 $\times 10^{-10}$	2.59 $\times 10^{-10}$	1.64 $\times 10^{-10}$	8.49 $\times 10^{-11}$	
500	6.09 $\times 10^{-12}$	9.51 $\times 10^{-14}$	1.50 $\times 10^{-18}$	3.39 $\times 10^{-11}$	5.48 $\times 10^{-11}$	2.20 $\times 10^{-11}$	1.58 $\times 10^{-11}$	2.45 $\times 10^{-11}$	2.36 $\times 10^{-11}$	1.28 $\times 10^{-11}$	5.49 $\times 10^{-12}$	
600	9.53 $\times 10^{-13}$	4.90 $\times 10^{-15}$	2.92 $\times 10^{-19}$	5.91 $\times 10^{-12}$	9.79 $\times 10^{-12}$	4.03 $\times 10^{-12}$	2.48 $\times 10^{-12}$	4.71 $\times 10^{-12}$	4.98 $\times 10^{-12}$	2.14 $\times 10^{-12}$	6.38 $\times 10^{-13}$	
800	3.00 $\times 10^{-15}$	3.38 $\times 10^{-17}$	1.88 $\times 10^{-20}$	1.79 $\times 10^{-14}$	3.06 $\times 10^{-14}$	1.30 $\times 10^{-14}$	7.04 $\times 10^{-15}$	1.60 $\times 10^{-14}$	2.10 $\times 10^{-14}$	6.89 $\times 10^{-15}$	1.91 $\times 10^{-15}$	
1000	2.85 $\times 10^{-17}$	8.40 $\times 10^{-19}$	1.89 $\times 10^{-21}$	1.19 $\times 10^{-16}$	1.85 $\times 10^{-16}$	9.37 $\times 10^{-17}$	5.72 $\times 10^{-17}$	1.11 $\times 10^{-16}$	1.40 $\times 10^{-16}$	5.68 $\times 10^{-17}$	2.03 $\times 10^{-17}$	
1200	7.81 $\times 10^{-19}$	4.46 $\times 10^{-20}$	2.53 $\times 10^{-22}$	2.55 $\times 10^{-18}$	3.73 $\times 10^{-18}$	2.13 $\times 10^{-18}$	1.41 $\times 10^{-18}$	2.45 $\times 10^{-18}$	3.00 $\times 10^{-18}$	1.41 $\times 10^{-18}$	6.06 $\times 10^{-19}$	
1400	4.17 $\times 10^{-20}$	3.84 $\times 10^{-21}$	4.21 $\times 10^{-23}$	1.15 $\times 10^{-19}$	1.60 $\times 10^{-19}$	9.96 $\times 10^{-20}$	7.00 $\times 10^{-20}$	1.12 $\times 10^{-19}$	1.35 $\times 10^{-19}$	7.06 $\times 10^{-20}$	3.44 $\times 10^{-20}$	

1600	3.50 $\times 10^{-21}$	4.61 $\times 10^{-22}$	8.27 $\times 10^{-24}$	8.44 $\times 10^{-21}$	1.14 $\times 10^{-20}$	7.56 $\times 10^{-21}$	5.56 $\times 10^{-21}$	8.40 $\times 10^{-21}$	9.91 $\times 10^{-21}$	5.64 $\times 10^{-21}$	3.02 $\times 10^{-21}$	
1800	4.06 $\times 10^{-22}$	7.10 $\times 10^{-23}$	1.86 $\times 10^{-24}$	8.85 $\times 10^{-22}$	1.16 $\times 10^{-21}$	8.13 $\times 10^{-22}$	6.18 $\times 10^{-22}$	8.92 $\times 10^{-22}$	1.04 $\times 10^{-21}$	6.30 $\times 10^{-22}$	3.64 $\times 10^{-22}$	
2000	6.01 $\times 10^{-23}$	1.32 $\times 10^{-23}$	4.69 $\times 10^{-25}$	1.21 $\times 10^{-22}$	1.55 $\times 10^{-22}$	1.13 $\times 10^{-22}$	8.87 $\times 10^{-23}$	1.23 $\times 10^{-22}$	1.43 $\times 10^{-22}$	9.08 $\times 10^{-23}$	5.57 $\times 10^{-23}$	
2200	1.08 $\times 10^{-23}$	2.87 $\times 10^{-24}$	1.30 $\times 10^{-25}$	2.04 $\times 10^{-23}$	2.57 $\times 10^{-23}$	1.94 $\times 10^{-23}$	1.55 $\times 10^{-23}$	2.09 $\times 10^{-23}$	2.40 $\times 10^{-23}$	1.59 $\times 10^{-23}$	1.03 $\times 10^{-23}$	
2400	2.27 $\times 10^{-24}$	7.04 $\times 10^{-25}$	3.93 $\times 10^{-26}$	4.05 $\times 10^{-24}$	5.03 $\times 10^{-24}$	3.91 $\times 10^{-24}$	3.19 $\times 10^{-24}$	4.19 $\times 10^{-24}$	4.79 $\times 10^{-24}$	3.29 $\times 10^{-24}$	2.21 $\times 10^{-24}$	
2600	5.42 $\times 10^{-25}$	1.92 $\times 10^{-25}$	1.27 $\times 10^{-26}$	9.22 $\times 10^{-25}$	1.13 $\times 10^{-24}$	9.02 $\times 10^{-25}$	7.47 $\times 10^{-25}$	9.61 $\times 10^{-25}$	1.09 $\times 10^{-24}$	7.73 $\times 10^{-25}$	5.37 $\times 10^{-25}$	
2800	1.44 $\times 10^{-25}$	5.72 $\times 10^{-26}$	4.40 $\times 10^{-27}$	2.36 $\times 10^{-25}$	2.87 $\times 10^{-25}$	2.33 $\times 10^{-25}$	1.95 $\times 10^{-25}$	2.47 $\times 10^{-25}$	2.80 $\times 10^{-25}$	2.03 $\times 10^{-25}$	1.45 $\times 10^{-25}$	
3000	4.21 $\times 10^{-26}$	1.84 $\times 10^{-26}$	1.61 $\times 10^{-27}$	6.64 $\times 10^{-26}$	8.00 $\times 10^{-26}$	6.62 $\times 10^{-26}$	5.62 $\times 10^{-26}$	6.99 $\times 10^{-26}$	7.90 $\times 10^{-26}$	5.85 $\times 10^{-26}$	4.30 $\times 10^{-26}$	

^aB3LYP/6-311++G(d,p);^bBHandHLYP/6-311++G(d,p);^cMP2/6-311++G(d,p);^dM11/6-311++G(d,p);^eMN12SX/6-311++G(d,p);^fM06-2X/6-311++G(d,p);
^gBMC-CCSD//M06-2X/6-311++G(d,p);^hUCCSD(T)//cc-PVTZ//M06-2X/6-311++G(d,p);ⁱM05-2X/6-311++G(d,p);^jBMC-CCSD//M05-2X/6-311++G(d,p);
^mUCCSD(T)//cc-PVTZ//M05-2X/6-311++G(d,p);ⁿexperimental data

Table S4 The rate constants at various methods in the temperature of 200-3000 K and at 1.0 Torr He. (k is in $\text{cm}^3 \text{ molecule}^{-1} \text{ s}^{-1}$)

$T(\text{K})$	k^a	k^b	k^c	k^d	k^e	k^f	k^g	k^h
200	3.08×10^{-11}	1.56×10^{-11}	2.72×10^{-12}	2.97×10^{-11}	9.33×10^{-12}	1.44×10^{-11}	9.91×10^{-12}	
220	2.04×10^{-11}	1.03×10^{-11}	1.78×10^{-12}	1.95×10^{-11}	6.05×10^{-12}	9.45×10^{-12}	6.58×10^{-12}	
240	1.37×10^{-11}	6.89×10^{-12}	1.19×10^{-12}	1.30×10^{-11}	4.00×10^{-12}	6.32×10^{-12}	4.44×10^{-12}	
260	9.38×10^{-12}	4.70×10^{-12}	8.12×10^{-13}	8.85×10^{-12}	2.70×10^{-12}	4.29×10^{-12}	3.04×10^{-12}	$(1.27 \pm 0.08) \times 10^{-11}$
280	6.49×10^{-12}	3.25×10^{-12}	5.59×10^{-13}	6.10×10^{-12}	1.84×10^{-12}	2.96×10^{-12}	2.11×10^{-12}	$(8.2 \pm 0.9) \times 10^{-12}$
298	4.71×10^{-12}	2.35×10^{-12}	4.04×10^{-13}	4.40×10^{-12}	1.32×10^{-12}	2.14×10^{-12}	1.53×10^{-12}	$(6.0 \pm 0.9) \times 10^{-12}$
318	3.33×10^{-12}	1.66×10^{-12}	2.84×10^{-13}	3.10×10^{-12}	9.25×10^{-13}	1.50×10^{-12}	1.08×10^{-12}	$(5.0 \pm 0.3) \times 10^{-12}$
333	2.58×10^{-12}	1.28×10^{-12}	2.19×10^{-13}	2.39×10^{-12}	7.12×10^{-13}	1.16×10^{-12}	8.33×10^{-13}	$(3.5 \pm 0.2) \times 10^{-12}$
500	1.86×10^{-13}	8.88×10^{-14}	1.38×10^{-14}	1.65×10^{-13}	4.66×10^{-14}	8.07×10^{-14}	5.41×10^{-14}	
600	2.88×10^{-14}	1.01×10^{-14}	1.02×10^{-15}	2.09×10^{-14}	4.75×10^{-15}	1.08×10^{-14}	4.35×10^{-15}	
800	5.33×10^{-17}	1.83×10^{-17}	2.14×10^{-18}	3.42×10^{-17}	7.84×10^{-18}	1.79×10^{-17}	7.97×10^{-18}	
1000	3.46×10^{-19}	1.49×10^{-19}	2.27×10^{-20}	2.43×10^{-19}	6.30×10^{-20}	1.22×10^{-19}	7.49×10^{-20}	
1200	7.45×10^{-21}	3.72×10^{-21}	6.79×10^{-22}	5.56×10^{-21}	1.56×10^{-21}	2.72×10^{-21}	2.06×10^{-21}	
1400	3.35×10^{-22}	1.86×10^{-22}	3.87×10^{-23}	2.61×10^{-22}	7.78×10^{-23}	1.25×10^{-22}	1.10×10^{-22}	
1600	2.47×10^{-23}	1.49×10^{-23}	3.40×10^{-24}	1.98×10^{-23}	6.18×10^{-24}	9.35×10^{-24}	9.26×10^{-24}	
1800	2.59×10^{-24}	1.66×10^{-24}	4.10×10^{-25}	2.13×10^{-24}	6.88×10^{-25}	9.94×10^{-25}	1.08×10^{-24}	
2000	3.55×10^{-25}	2.40×10^{-25}	6.28×10^{-26}	2.97×10^{-25}	9.87×10^{-26}	1.37×10^{-25}	1.59×10^{-25}	
2200	5.99×10^{-26}	4.21×10^{-26}	1.16×10^{-26}	5.09×10^{-26}	1.73×10^{-26}	2.33×10^{-26}	2.86×10^{-26}	
2400	1.19×10^{-26}	8.67×10^{-27}	2.48×10^{-27}	1.02×10^{-26}	3.54×10^{-27}	4.67×10^{-27}	6.01×10^{-27}	
2600	2.72×10^{-27}	2.04×10^{-27}	6.04×10^{-28}	2.36×10^{-27}	8.30×10^{-28}	1.07×10^{-27}	1.43×10^{-27}	
2800	6.96×10^{-28}	5.35×10^{-28}	1.63×10^{-28}	6.10×10^{-28}	2.17×10^{-28}	2.75×10^{-28}	3.81×10^{-28}	
3000	1.96×10^{-28}	1.54×10^{-28}	4.82×10^{-29}	1.73×10^{-28}	6.24×10^{-29}	7.77×10^{-29}	1.11×10^{-28}	

^aM05-2X/6-311++G(d,p);^bBMC-CCSD//M05-2X/6-311++G(d,p);^cUCCSD(T)/cc-PVTZ//M05-2X/6-311++G(d,p);^dM06-2X/6-311++G(d,p);
^eBMC-CCSD//M06-2X/6-311++G(d,p);^fUCCSD(T)/cc-PVTZ//M06-2X/6-311++G(d,p);^gB3LYP/6-311++G(d,p);^hexperimental data

Table S5 The rate constants at various methods in the pressures of 10^{-5} - 10^9 Torr He and at 298 K

P(Torr)	k^a	k^b	k^c	k^d	k^e	k^f	k^g	k^h
10^{-5}	4.78×10^{-17}	2.37×10^{-17}	4.05×10^{-18}	1.77×10^{-17}	1.33×10^{-17}	2.15×10^{-17}	1.67×10^{-17}	
10^{-4}	4.78×10^{-16}	2.37×10^{-16}	4.05×10^{-17}	1.77×10^{-16}	1.33×10^{-16}	2.15×10^{-16}	1.67×10^{-16}	
10^{-3}	4.78×10^{-15}	2.37×10^{-15}	4.05×10^{-16}	1.77×10^{-15}	1.33×10^{-15}	2.15×10^{-15}	1.67×10^{-15}	
0.01	4.78×10^{-14}	2.37×10^{-14}	4.05×10^{-15}	1.77×10^{-14}	1.33×10^{-14}	2.15×10^{-14}	1.67×10^{-14}	
0.5	2.37×10^{-12}	1.18×10^{-12}	2.02×10^{-13}	8.84×10^{-13}	6.63×10^{-13}	1.07×10^{-12}	7.94×10^{-13}	$(3.0 \pm 0.9) \times 10^{-12}$
1	4.71×10^{-12}	2.35×10^{-12}	4.04×10^{-13}	1.76×10^{-12}	1.32×10^{-12}	2.14×10^{-12}	1.53×10^{-12}	$(6.0 \pm 0.9) \times 10^{-12}$
1.5	7.02×10^{-12}	3.52×10^{-12}	6.06×10^{-13}	2.63×10^{-12}	1.98×10^{-12}	3.20×10^{-12}	2.22×10^{-12}	$(7.6 \pm 1.1) \times 10^{-12}$
2	9.29×10^{-12}	4.67×10^{-12}	8.07×10^{-13}	3.50×10^{-12}	2.64×10^{-12}	4.25×10^{-12}	2.88×10^{-12}	$(7.00 \pm 1) \times 10^{-12}$
2.5	1.15×10^{-11}	5.82×10^{-12}	1.01×10^{-12}	4.36×10^{-12}	3.29×10^{-12}	5.30×10^{-12}	3.51×10^{-12}	$(8.8 \pm 0.9) \times 10^{-12}$
3	1.38×10^{-11}	6.96×10^{-12}	1.21×10^{-12}	5.22×10^{-12}	3.95×10^{-12}	6.35×10^{-12}	4.12×10^{-12}	$(1.14 \pm 0.9) \times 10^{-11}$
100	2.53×10^{-10}	1.57×10^{-10}	3.64×10^{-11}	1.25×10^{-10}	1.06×10^{-10}	1.54×10^{-10}	5.99×10^{-11}	
400	5.47×10^{-10}	3.85×10^{-10}	1.18×10^{-10}	3.27×10^{-10}	2.95×10^{-10}	3.96×10^{-10}	1.31×10^{-10}	
760	7.20×10^{-10}	5.36×10^{-10}	1.89×10^{-10}	4.75×10^{-10}	4.38×10^{-10}	5.64×10^{-10}	1.77×10^{-10}	
1000	7.97×10^{-10}	6.08×10^{-10}	2.28×10^{-10}	5.48×10^{-10}	5.11×10^{-10}	6.45×10^{-10}	3.83×10^{-10}	
10^4	1.36×10^{-9}	1.23×10^{-9}	7.56×10^{-10}	1.29×10^{-9}	1.27×10^{-9}	1.40×10^{-9}	4.82×10^{-10}	
10^5	1.58×10^{-9}	1.56×10^{-9}	1.34×10^{-9}	1.81×10^{-9}	1.82×10^{-9}	1.85×10^{-9}	5.03×10^{-10}	
10^6	1.62×10^{-9}	1.63×10^{-9}	1.58×10^{-9}	1.95×10^{-9}	1.98×10^{-9}	1.96×10^{-9}	5.06×10^{-10}	
10^7	1.63×10^{-9}	1.64×10^{-9}	1.62×10^{-9}	1.96×10^{-9}	2.00×10^{-9}	1.97×10^{-9}	5.06×10^{-10}	
10^8	1.63×10^{-9}	1.64×10^{-9}	1.63×10^{-9}	1.97×10^{-9}	2.00×10^{-9}	1.97×10^{-9}	5.06×10^{-10}	
10^9	1.63×10^{-9}	1.64×10^{-9}	1.63×10^{-9}	1.97×10^{-9}	2.00×10^{-9}	1.97×10^{-9}	1.77×10^{-10}	

^aM05-2X/6-311++G(d,p); ^bBMC-CCSD//M05-2X/6-311++G(d,p); ^cUCCSD(T)/cc-PVTZ//M05-2X/6-311++G(d,p); ^dM06-2X/6-311++G(d,p);
^eBMC-CCSD//M06-2X/6-311++G(d,p); ^fUCCSD(T)/cc-PVTZ//M06-2X/6-311++G(d,p); ^gB3LYP/6-311++G(d,p); ^hexperimental data